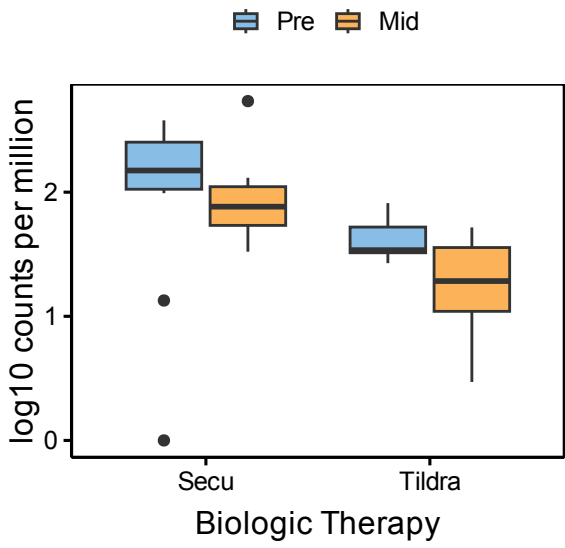
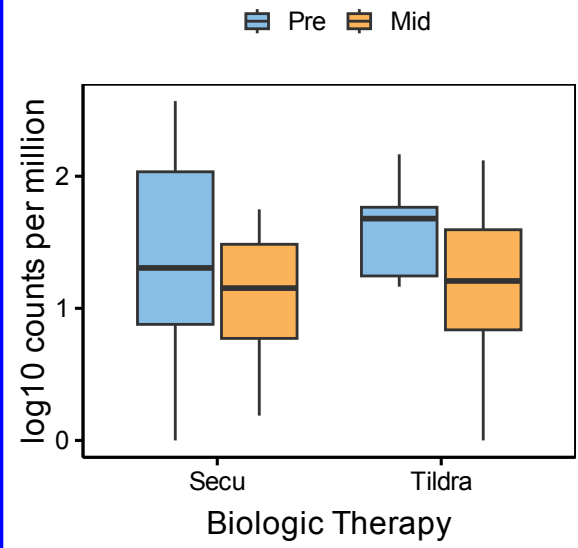


CTLA4



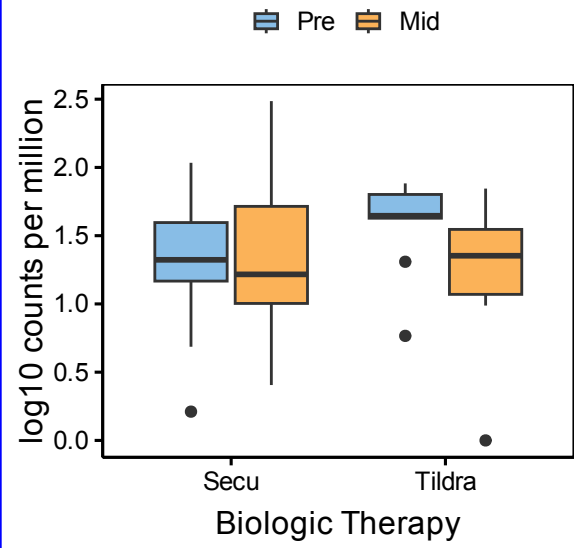
<i>l2FC_il17</i>	0.707
<i>padj_il17</i>	0.876
<i>l2FC_il23</i>	1.597
<i>padj_il23</i>	0.006
<i>ratio</i>	0.443

CPM



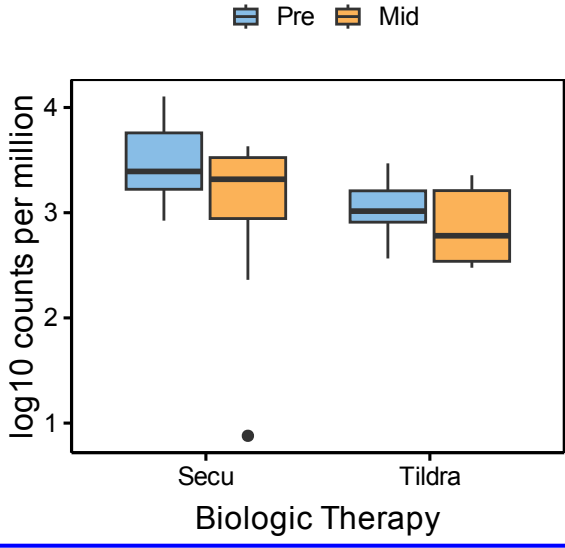
<i>l2FC_il17</i>	1.652
<i>padj_il17</i>	0.481
<i>l2FC_il23</i>	1.331
<i>padj_il23</i>	0.082
<i>ratio</i>	1.241

ADGRG1



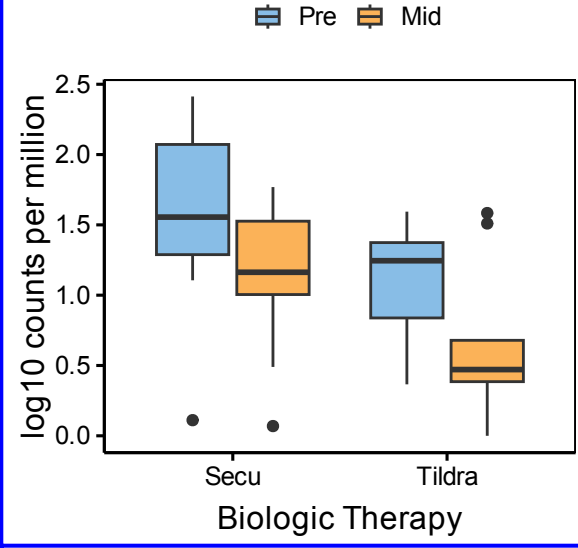
<i>l2FC_il17</i>	-0.196
<i>padj_il17</i>	0.971
<i>l2FC_il23</i>	1.119
<i>padj_il23</i>	0.04
<i>ratio</i>	-0.175

GNLY



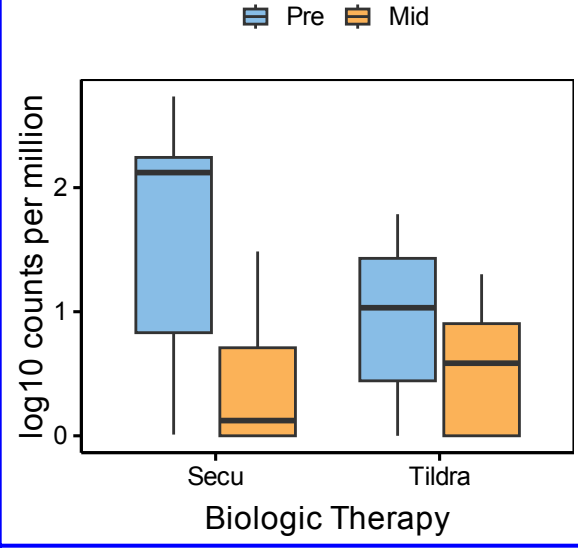
<i>l2FC_il17</i>	1.961
<i>padj_il17</i>	0.296
<i>l2FC_il23</i>	0.712
<i>padj_il23</i>	0.954
<i>ratio</i>	2.754

HAVCR2



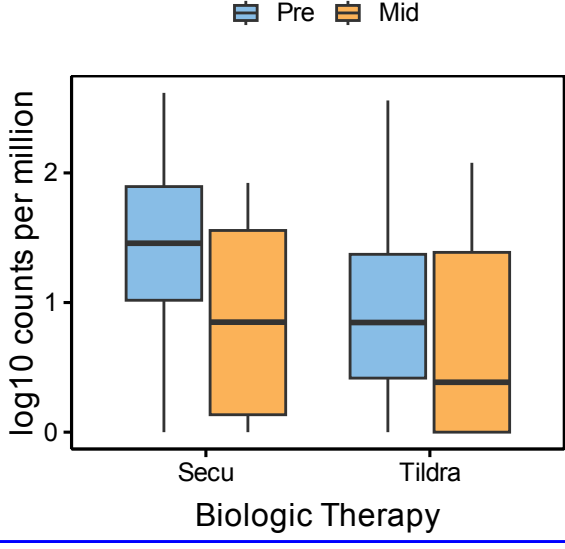
<i>l2FC_il17</i>	2.312
<i>padj_il17</i>	0.3
<i>l2FC_il23</i>	2.88
<i>padj_il23</i>	0.008
<i>ratio</i>	0.803

IL17A



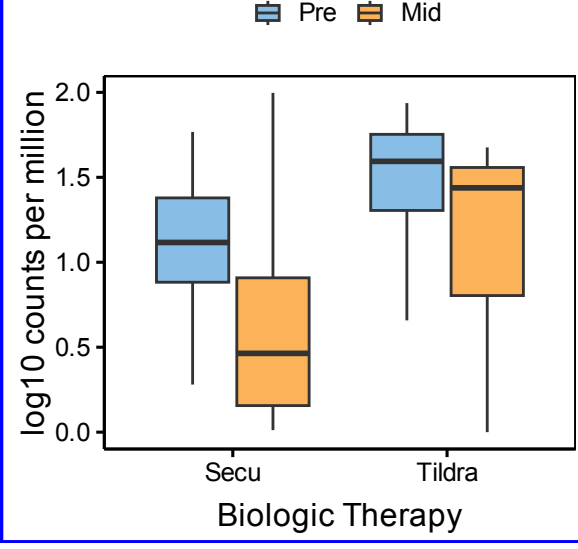
<i>l2FC_il17</i>	7.812
<i>padj_il17</i>	0
<i>l2FC_il23</i>	2.1
<i>padj_il23</i>	0.262
<i>ratio</i>	3.72

IL17F



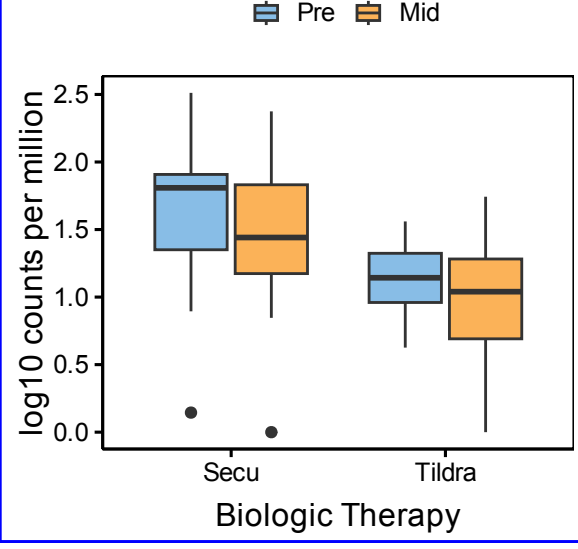
<i>l2FC_il17</i>	2.831
<i>padj_il17</i>	0.098
<i>l2FC_il23</i>	1.073
<i>padj_il23</i>	1
<i>ratio</i>	2.638

IL26



<i>l2FC_il17</i>	3.577
<i>padj_il17</i>	0.059
<i>l2FC_il23</i>	1.264
<i>padj_il23</i>	0.963
<i>ratio</i>	2.83

IFNG



<i>l2FC_il17</i>	0.519
<i>padj_il17</i>	0.913
<i>l2FC_il23</i>	0.455
<i>padj_il23</i>	1
<i>ratio</i>	1.141